















BUXORO DAVLAT TEXNIKA UNIVERSITETI (BUXORO TABIIY RESURSLARNI BOSHQARISH INSTITUTI) (O'ZBEKISTON),

BIRLASHGAN MILLATLAR TASHKILOTINING "QISHLOQ XO'JALIGI VA OZIQ OVQAT" TASHKILOTI (FAO),

GUMBOLT NOMIDAGI BERLIN UNIVERSITETI (GERMANIYA),

PRESOV UNIVERSITETI (SLOVAKIYA),

VALENSIYA POLITEXNIKA UNIVERSITETI (ISPANIYA),

ZALF AGROTEXNOLOGIYALAR ILMIY TADQIQOT MARKAZI (GERMANIYA),

INTI XALQARO UNIVERSITETI (MALAYZIYA), HERRIOT WATT UNIVERSITETI (MALAYZIYA)

"YASHIL ENERGETIKA VA UNING QISHLOQ VA SUV XO'JALIGIDAGI
O'RNI" MAVZUSIDAGI XALQARO ILMIY VA ILMIY-TEXNIKAVIY
ANJUMANI

MATERIALLAR TO'PLAMI

29-30-aprel, 2025-yil

ISSN: 978-9910-10-082-6 UO'K 556.182:551.5(08) BBK 26.222+26.236 «DURDONA» Nashriyoti

"Yashil energetika va uning qishloq va suv xo'jaligidagi o'rni" mavzusidagi xalqaro ilmiy va ilmiy-texnikaviy anjumani materiallar to'plami (2025-yil 29-30-aprel) -B.: Buxoro davlat texnika universiteti (Buxoro tabiiy resurslarni boshqarish instituti), 2025.

TAHRIR HAY'ATI RAISI:

Imomov Shavkat Jaxonovich-"TIQXMMI" MTU Buxoro tabiiy resurslarni boshqarish instituti rektori, texnika fanlari doktori, professor.

BOSH MUHARRIR:

Joʻrayev Fazliddin Oʻrinovich-"TIQXMMI" MTU Buxoro tabiiy resurslarni boshqarish instituti ilmiy ishlar va innovatsiyalar boʻyisha prorektori, texnika fanlari doktori, professor.

MUHARRIR:

Axmedov Sharifboy Roʻziyevich-"TIQXMMI" MTU Buxoro tabiiy resurslarni boshqarish instituti "GTI va NS" kafedrasi mudiri, texnika fanlari nomzodi, professor v.b.

TAHRIRIYAT HAY'ATI A'ZOLARI:

Ibragimov Ilhom Ahrorovich-texnika fanlari doktori, dotsent

Jo'rayev Umid Anvarovich-qishloq xo'jaligi fanlari doktori, professor.

Rajabov Yarash Jabborovich-texnika fanlari falsafa doktori, dotsent.

Laamarti Yuliya Aleksandrovna - sotsiologiya fanlari nomzodi, dotsent

Marasulov Abdirahim Mustafoevich - texnika fanlari doktori, professor.

Teshayev Muxsin Xudoyberdiyevich-fizika-matematika fanlari doktori, professor

Boltayev Zafar Ixtiyorovich- fizika-matematika fanlari doktori, professor

To'xtayeva Habiba Toshevna-geografiya fanlari bo'yicha falsafa doktori (PhD), v.b., professor.

Safarov Tolib Tojiyevich-tarix fanlari nomzodi, dotsent.

Boltayev San'at Axmedovich-texnika fanlari nomzodi, dotsent.

Jamolov Farxod Norkulovich- texnika fanlari falsafa doktori, dotsent.

Barnayeva Muniraxon Abduraufovna- texnika fanlari falsafa doktori, dotsent.

Toʻplamga kiritilgan tezislardagi ma'lumotlarning haqqoniyligi va iqtiboslarning togʻriligiga mualliflar mas'uldir.

- © Buxoro davlat texnika universiteti (Buxoro tabiiy resurslarni boshqarish instituti).
- © Mualliflar

Elektron pochta manzili: buxtimi@mail.ru

НЕСТАЦИОНАРНОЕ ВЗАИМОДЕЙСТВИЕ УПРУГОЙ ЦИЛИНДРИЧЕСКОЙ ОБОЛОЧКИ С ВЯЗКОЙ СЖИМАЕМОЙ ЖИДКОСТЬЮ

Ш. Р. Ахмедов, Ф.Ш. Мусулманов, Д. Б. Салимова, Н. Ибодов Бухарский государственный технический университет

Аннотация. Исследованию проблемы взаимодействия упругой оболочки с вязкой сжимаемой жидкостью посвящены лишь отдельные публикации. В [1] рассматривается осесимметричная задача, а в [2, 4] исследуется о общая (не осесимметричная) задача о распространении волн в изотропной оболочке, которая заполнена вязкой сжимаемой жидкостью. В статье [5] получено решение для плоского случая нестационарного взаимодействия цилиндрической оболочки с жидкостью. В настоящей работе рассматривается задача нестационарного взаимодействия упругой цилиндрической оболочки конечной длины с вязкой сжимаемой жидкостью.

При этом применяются общие решения линеаризованных уравнений Стокса- Навье для вязкой сжимаемой жидкости [1-4]. Для описания движения оболочки используется уравнения, построенные с привлечением гипотез Кирхгофа-Лява. Из полученных результатов в качестве предельных следуют результаты для несжимаемой жидкости.

Рассмотрим цилиндрическую оболочку радиусом R , длиной l и толщиной h , Уравнение движения оболочки запишем в виде

$$\begin{split} \frac{h^2}{12} \left(\frac{\partial^2}{\partial z^2} + \frac{1}{R^2} \frac{\partial^2}{\partial \theta^2} \right)^2 u_r + \frac{1}{R^2} u_r + \frac{1}{R^2} \frac{\partial u_0}{\partial \theta} + \frac{v_1}{R} \frac{\partial u_z}{\partial z} = \\ &= -\frac{1 - v_1^2}{Eh} \left(\rho_1 h \frac{\partial^2 u_r}{\partial t^2} + q_r \big|_{r=R} + p_{rr} \big|_{r=R} \right); \\ \frac{1}{R^2} \frac{\partial u_r}{\partial \theta} + \left(\frac{1 - v_1}{2} \frac{\partial^2}{\partial z^2} + \frac{1}{R^2} \frac{\partial^2}{\partial \theta^2} \right) u_0 + \frac{1 - v_1}{2R} \frac{\partial^2 u_z}{\partial z \partial \theta} = \\ &= \frac{1 - v_1^2}{Eh} \left(\rho_1 h \frac{\partial^2 u_r}{\partial t^2} + q_\theta \big|_{r=R} + p_{r\theta} \big|_{r=R} \right); \\ \frac{v_1}{R^2} \frac{\partial u_r}{\partial z} + \frac{1 - v_1}{2R} \frac{\partial^2 u_\theta}{\partial z \partial \theta} + \frac{1}{R^2} \frac{\partial^2}{\partial \theta^2} + \left(\frac{\partial^2}{\partial z^2} + \frac{1 - v_1}{2R^2} \frac{\partial^2}{\partial \theta^2} \right) u_z = \\ &= \frac{1 - v_1^2}{Eh} \left(\rho_1 h \frac{\partial^2 u_z}{\partial z^2} + q_z \big|_{r=R} + p_{rz} \big|_{r=R} \right); \end{split}$$

Здесь u_z, u_r, u_θ — компоненты вектора упругих перемещений точек срединной поверхности; E и v_1 -модуль упругости и коэффициент Пуассона; p_z, p_r, p_θ — заданное нестационарное воздействие на абсолютно жесткую поверхность; $p_{rz}, p_{rr}, p_{r\theta}$ — составляющие тензора напряжений вязкой сжимаемой жидкости;

$$p_{rr} = -p + \lambda_{1} \left(\frac{\partial v_{r}}{\partial r} + \frac{1}{r} \frac{\partial v_{\theta}}{\partial \theta} + \frac{\partial v_{z}}{\partial z} + \frac{v_{r}}{r} \right) + 2\mu \frac{\partial v_{r}}{\partial r};$$

$$p_{r\theta} = \mu \left(\frac{1}{r} \frac{\partial v_{r}}{\partial \theta} + \frac{\partial v_{\theta}}{\partial r} - \frac{v_{\theta}}{r} \right); \qquad p_{rz} = \mu \left(\frac{\partial v_{z}}{\partial r} + \frac{\partial v_{r}}{\partial z} \right);$$

 $\upsilon_{z},\upsilon_{r},\upsilon_{\theta},$ p — параметры поля скоростей, возникшего вследствие упругих

деформаций оболочки; μ —коэффициент вязкости; $\lambda_1 = -\frac{2}{3}\mu$ -второй

коэффициент вязкости.

На поверхности деформируемой оболочки выполняются; кинематические условия

$$\upsilon_{z} = \frac{\partial u_{r}}{\partial t}, \, \upsilon_{r} = \frac{\partial u_{r}}{\partial t}, \, \upsilon_{\theta} = \frac{\partial u_{\theta}}{\partial t}$$
 $(r = R)$ (3)

Кроме того, будем полагать, что концы оболочки имеют шарнирно-подвижное оперение и в начальный момент времени деформации отсутствуют [6].

В работах [1—4] получено общее решение уравнений Стокса-Навье для вязкой сжимаемой жидкости. Согласно [1] получаем

$$\vec{v} = \frac{\partial}{\partial t} \left[\vec{\nabla} \psi + \vec{\nabla} \times \vec{e_3} \chi_1 + \vec{\nabla} \times (\vec{\nabla} \times \vec{e_3} \chi_2) \right];$$

$$p = p_0 \left(\frac{\lambda_1 + 2\mu}{p_0} \Delta - \frac{\partial}{\partial t} \right) \frac{\partial}{\partial t} \psi;$$

$$\frac{\partial p}{\partial t} = \frac{p_0}{a_0^2} \left(\frac{\lambda_1 + 2\mu}{p_0} \Delta - \frac{\partial}{\partial t} \right) \frac{\partial}{\partial t} \psi;$$

Здесь потенциалы ψ, χ_1, χ_2 удовлетворяют уравнениям

$$\[\left[\left(1 + \frac{\lambda_1 + 2\mu}{p_0} \right) \Delta - \frac{1}{a_0^2} \frac{\partial^2}{\partial t^2} \right] \psi = 0; \\ \left(\frac{\partial}{\partial t} - v \Delta \right) \chi_1 = 0; \quad \left(\frac{\partial}{\partial t} - v \Delta \right) \chi_2 = 0.$$

Из (1.4) следуя работам [1—4], получаем представление составляющий вектора скорости через потенциалы

$$\upsilon_{r} = \frac{\partial}{\partial t} \left(\frac{\partial \psi}{\partial r} + \frac{1}{r} \frac{\partial \chi_{1}}{\partial \theta} + \frac{\partial^{2} \chi_{2}}{\partial r \partial z} \right); \ \upsilon_{\theta} = \frac{\partial}{\partial t} \left(\frac{1}{r} \frac{\partial \psi}{\partial \theta} - \frac{\partial \chi_{1}}{\partial r} + \frac{1}{r} \frac{\partial^{2} \chi_{2}}{\partial \theta \partial z} \right);$$

$$\upsilon_{z} = \frac{\partial}{\partial t} \left(\frac{\partial \psi}{\partial z} - \frac{\partial^{2} \chi_{2}}{\partial r^{2}} - \frac{1}{r} \frac{\partial \chi_{2}}{\partial r} - \frac{1}{r^{2}} \frac{\partial \chi_{2}}{\partial \theta} \right)$$

Для нестационарных задач решение уравнений (7), (8) будем искать в виде $\psi = f_1(r,z,t)\cos m\theta; \ \chi_1 = f_2(r,z,t)\sin m\theta; \ \chi_2 = f_3(r,z,t)\cos m\theta$ (9)

К уравнениям: (7), (8) применим преобразование Лапласа по времени t и преобразование Фурье по координате z на конечном интервале [8]; Тогда (7) и (8) с учетом соотношений (9) приводятся к следующему уравнению:

$$\frac{d^2 f_i^{FL}}{dr^2} + \frac{1}{r} \frac{df_i^{FL}}{dr} + \left(\eta_i^2 - \frac{m^2}{r^2}\right) f_i^{FL} = 0 \qquad (i = 1, 2, 3) \tag{10}$$

Здесь

$$\eta_{1} = \sqrt{\beta^{2} + \frac{3\lambda^{2}}{3a_{0} + \lambda v}}; \quad \eta_{2} = \eta_{3} = \sqrt{\beta^{2} + \frac{\lambda}{v}};$$

$$f_{1}^{FL} = \int_{0}^{\infty} e^{-\lambda t} \left[\int_{0}^{t} f_{1}(r, z, t) \sin \beta z dz \right] dt;$$

$$f_{2}^{FL} = \int_{0}^{\infty} e^{-\lambda t} \left[\int_{0}^{t} f_{2}(r, z, t) \sin \beta z dz \right] dt;$$

$$f_3^{FL} = \int_0^\infty e^{-\lambda t} \left[\int_0^t f_3(r, z, t) \sin \beta z dz \right] dt;$$

 β и λ — параметры преобразования Фурье и Лапласа; индекс FL , обозначает изображение соответствующей величины,

Решение уравнения (1.10) в общем виде представим в форме

$$f_i^{FL} = A_i Z_m(\eta_i r),$$

Где $Z_m(x)$ – цилиндрические функции.

Для потенциалов (9) в области изображения решения (11) приводят к следующим выражениям:

$$\psi^{FL} = [A_{1}I_{m}(\eta_{1}r) + B_{1}K_{m}(\eta_{1}r)]\cos m\theta; \ \chi_{1}^{FL} = [A_{3}I_{m}(\eta_{2}r) + B_{3}K_{m}(\eta_{2}r)]\sin m\theta; \ \chi_{2}^{FL} = [A_{2}I_{m}(\eta_{3}r) + B_{2}K_{m}(\eta_{3}r)]\cos m\theta,$$

Где $I_{\scriptscriptstyle m}(x)$ -модифицированные функции Бесселя; $K_{\scriptscriptstyle m}(x)$ -функции Макдональда.

Найдем решение для осесимметричного случая (m=0). Переводя (9) в область изображения и подставляя (12) получаем

$$\begin{split} \upsilon_{r}^{FL} &= \lambda \Big[A_{1} \eta_{1} I_{1}(\eta_{1}r) - B_{1} \eta_{1} K_{1}(\eta_{1}r) - \beta \eta_{2} A_{2} I_{1}(\eta_{2}r) + \beta \eta_{2} B_{2} K_{1}(\eta_{2}r) \Big]; \\ \upsilon_{z}^{FL} &= \lambda \Big[\beta A_{1} I_{0}(\eta_{1}r) + \beta B_{1} K_{0}(\eta_{1}r) - \beta \eta_{2}^{2} A_{2} I_{0}(\eta_{2}r) - \eta_{2}^{2} B_{2} K_{0}(\eta_{2}r) \Big]; \\ p^{FL} &= \frac{4}{3} p_{0} v \lambda \bigg(\eta_{1}^{2} - \beta^{2} - \frac{3\lambda}{4v} \bigg) \Big[A_{1} I_{0}(\eta_{1}r) + B_{1} K_{0}(\eta_{1}r) \Big] \end{split}$$

Значения (13) позволяют записать нагрузку (2), обусловленную полем скоростей, в форме

$$p_{rz}^{FL}\big|_{r=R} = a_1A_1 + a_2B_1 + a_3A_2 + a_4B_2; \quad p_{rr}^{FL}\big|_{r=R} = b_1A_1 + b_2B_1 + b_3A_2 + b_4B_2;$$

Здесь

$$\begin{split} a_1 &= 2\eta_1 \beta \mu \lambda I_1(\eta_1 R); a_2 = 2\eta_1 \beta \mu K_1(\eta_1 R); \\ a_3 &= \eta_2(\eta_2^2 + \beta^2) \mu \lambda I_1(\eta_2 R); \quad a_4 = -\eta_2(\eta_2^2 + \beta^2) \mu \lambda K_1(\eta_2 R); \\ b_1 &= -\lambda \left(\frac{2}{3} \mu \beta^2 + p_0 \lambda\right) I_0(\eta_1 R) + \frac{2\mu \lambda \eta_1}{R} I_1(\eta_1 R); \\ b_2 &= -\lambda \left(\frac{2}{3} \mu \beta^2 + p_0 \lambda\right) K_0(\eta_1 R) + \frac{2\mu \lambda \eta_1}{R} K_1(\eta_1 R); \\ b_3 &= 2\mu \lambda \beta \eta_2^2 \left[I_0(\eta_2 R) - \frac{I_1(\eta_2 R)}{\eta_2 R}\right]; \quad b_4 = 2\mu \lambda \beta \eta_2^2 \left[K_0(\eta_2 R) - \frac{K_1(\eta_2 R)}{\eta_2 R}\right]. \end{split}$$

Решение уравнений (1) с учетом (14) принимает вид

$$u_r^{FL} = m_1 A_1 + m_2 B_1 + m_3 A_2 + m_4 B_2 + \Pi_1;$$

$$u_z^{FL} = m_5 A_1 + m_6 B_1 + m_7 A_2 + m_8 B_2 + \Pi_2;$$

Где

$$\begin{split} m_1 &= \frac{a_1c_3 - b_1c_2}{\Delta_1}; \ m_2 = \frac{a_2c_3 - b_2c_2}{\Delta_1}; \ m_3 = \frac{a_3c_3 - b_3c_2}{\Delta_1}; \ m_4 = \frac{a_4c_3 - b_4c_2}{\Delta_1}; \\ m_5 &= \frac{b_1c_1 - a_1c_2}{\Delta_1}; \ m_6 = \frac{b_2c_1 - a_2c_2}{\Delta_1}; \ m_7 = \frac{b_3c_1 - a_3c_2}{\Delta_1}; \ m_8 = \frac{b_4c_1 - a_1c_2}{\Delta_1}; \\ \Pi_1 &= \frac{c_3h_1 - c_2h_2}{\Delta_1}; \Pi_2 = \frac{c_1h_2 - c_2h_1}{\Delta_1}; \ h_1 = q_r^{FL}\big|_{r=R}; \ h_2 = q_z^{FL}\big|_{r=R}; \end{split}$$

$$c_{1} = -\left(\frac{Eh\beta^{2}}{1 - v_{1}^{2}} + \lambda^{2} p_{1}h\right); c_{2} = \frac{v_{1}Eh\beta^{2}}{R(1 - v_{1}^{2})};$$

$$c_{3} = -\left[\frac{Eh}{R^{2}(1 - v_{1}^{2})} + \frac{Eh^{2}\beta^{4}}{12(1 - v_{1}^{2})} + \lambda^{2} p_{1}h\right]; \Delta_{1} = c_{1}c_{3} - c_{2}^{2}.$$

Для определения коэффициентов A_1, A_2, B_1, B_2 используем кинематические условия (3), которые в области изображений имеют вид

$$\upsilon_r^{FL} = \lambda u_r^{FL}; \ \upsilon_z^{FL} = \lambda u_z^{FL} \qquad r = R \quad (16)$$

а также условия на бесконечности или на оси (r=0).

При внешнем взаимодействии оболочки с жидкостью поле скоростей, возникшее вследствие деформаций поверхности, с удалением от поверхности должно. Так как при $r \to \infty$ $I_0(x)$ и $I_1(x) \to \infty$, то в решениях (13), (15) необходимо положить $A_1 = A_2 = 0$ Значение коэффициентов B_1 и B_2 определяем из условия (16)

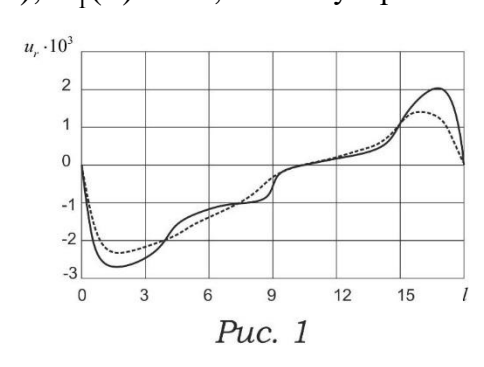
$$B_1 = \frac{1}{\Delta_2} (\Pi_2 k_8 - \Pi_1 k_6); \ B_2 = \frac{1}{\Delta_2} (\Pi_1 k_5 - \Pi_2 k_7);$$

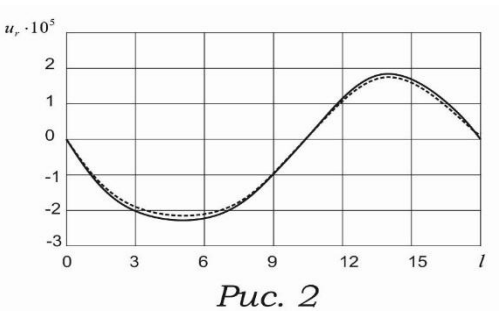
Где

$$k_5 = -\eta_1 K_1(\eta_1 R) - m_6; \ k_6 = \beta \eta_2 K_1(\eta_2 R) - m_8;$$

$$k_7 = \beta K_0(\eta_1 R) - m_2; k_5 = -\eta_2^2 K_0(\eta_2 R) - m_4; \ \Delta_2 = k_5 k_8 - k_6 k_7$$

При внутреннем взаимодействии на оси оболочки (r = R) функции $K_0(x), K_1(x) \to \infty$, поэтому в решениях (13), (15) следует положит





 $B_1 = B_2 = 0$ Значения A_1 и A_2 определяем также из граничного условия

$$A_1 = \frac{1}{\Delta_3} (\Pi_2 k_4 - \Pi_1 k_2); \quad A_2 = \frac{1}{\Delta_3} (\Pi_1 k_1 - \Pi_2 k_3);$$

Здесь

$$\begin{split} k_1 &= \eta_1 I_1(\eta_1 R) - m_5; \ k_2 = -\beta \eta_2 I_1(\eta_2 R) - m_7; \\ k_4 &= -\eta_2^2 I_0(\eta_2 R) - m_3; \ \Delta_3 = k_1 k_4 - k_2 k_3. \end{split}$$

Если рассматривать задачу взаимодействия жидкости, находящуюся между упругими коаксиальными цилиндрами с радиусами R_1 и R_2 ($R_1 > R_2$), то в силу ограниченности расстояния между поверхностями, в решениях (13) и (15) следует сохранить все коэффициенты. При этом необходимо дополнительно удовлетворить эти решения граничному условию на второй оболочке, формально совпадающему с (16). Тогда A_1, A_2, B_1, B_2 будут определены системой

$$\begin{split} &A_{1}k_{11}+B_{1}k_{12}+A_{2}k_{13}+B_{2}k_{14}=\Pi_{11};\ A_{1}k_{15}+B_{1}k_{16}+A_{2}k_{17}+B_{2}k_{18}=\Pi_{12};\\ &A_{1}k_{21}+B_{1}k_{22}+A_{2}k_{23}+B_{2}k_{24}=\Pi_{21};\ A_{1}k_{25}+B_{1}k_{26}+A_{2}k_{27}+B_{2}k_{28}=\Pi_{22}; \end{split}$$

Здесь индекс 1 соответствует оболочке радиусом R_1 а индекс 2-оболочке радиусом R_2

В качестве числового примера исследовались решения внутреннего взаимодействия, когда деформация поверхности вызывались изменением перепада давления по закону (7)

$$\Delta p_0 = -ap_0 \cos \omega t$$

В этом случае

$$h_1 = 0; h_2 = -\frac{\lambda}{\beta(\lambda^2 + \omega^2)} [p_1 + (-1)^n p_2].$$

Переход от изображения к оригиналу осуществлялся численно с использованием кусочно-полиномиальных функций при таких значениях параметров: $E == 2 \cdot 10^{11}$ Па;

$$R = 4.5 \text{ cm}; l = 18 \text{ cm}; h = 0.25 \text{ cm}; v = 0.74 \text{ cm}^2/c; p_1 = 3.7 \cdot 10^4 \Pi a; p_2 2.49 \cdot 10^4 \Pi a$$

На рис. 1 и 2 показано изменение радиального перемещения оболочки дли вязкой сжимаемой жидкости (сплошная линия) и для вязкой несжимаемой жидкости (штриховая линия) соответственно при $t=0.5\,$ и $t=20\,$ Как видно, с увеличением 'времени влияние сжимаемости жидкости проявляется меньше.

В заключение отметим, что если в решениях (1.13), (1.15) положить $a_0 \to \infty$ то получим представление решения для несжимаемой вязкой жидкости, совпадающего с результатами [6].

Литература

- 1. I. Safarov, M. Teshaev, Sh. Axmedov, D. Rayimov, F. Homidov, Manometric Tubular Springs Oscillatory Processes Modeling with Consideration of its Viscoelastic Properties, International Scientific Conference "Construction Mechanics, Hydraulics and Water Resources Engineering" (CONMECHYDRO-2021), (01010), https://doi.org/10.1051/e3sconf/202126401010
- 2. I I Safarov, M Kh Teshaev, Sh R Axmedov, S A Boltayev, Sh N Almuratov, Intrinsic oscillations of viscoelastic three-layer truncated conical shell, Journal of Physics: Conference Series, Volume 2388, IV International Conference on Applied Physics, Information Technologies and Engineering 2022 (APITECH-IV 2022) 05/10/2022-08/10/2022 Bukhara, Uzbekistan
- 3. S.R. Akhmedov, T.O. Zhuraev, D. Agzamova, "On resonance damping vibrations of tubular structures", Bukhoro-1998,
- 4. Sh R Akhmedov, X T Tuxtaeva, Z U Amanova, I N Tursunov, Sh H Hakimov, M M Rajabova, M B Bahriddinov, Sh Egamurodov, S Mirzayev. "Scientific basis of the effect of groundwater sources on annual plant growth current natural conditions", 2023 IOP Conf. Ser.: Earth Environ. Sci. 1138 012034. doi:10.1088/1755-1315/1138/1/012034
- **5. Ахмедов, Ш. Р**. *Модульное исследование влияния термических эффектов источников орошения на продуктивность хлопкового поля.* Диссертация на учен. ст. к. т. н. Ташкент, 1991.
- **6.** Tursunov I. N., Radjabova M. M., Ergashev M. G', Vegetatsiya davrida yer osti suvlaridan qishloq xo'jaligi ekinlar (kungaboqar)ni yetishtirishda bo'ladigan ta'sirni aniqlash. Journal of new century innovations, http://newjournal.org/index.php/new/article/view/8749
- 7. Ismoil Safarov, MuhsTeshaev, Sharif Axmedov, Navruzbek Qalandarov, Abdurakhim Marasulov, "Dynamic stress-strastates viscoelastic half-spaces from the effects of cylindrical inclusion loads", PROCEEDINGS OF THE II INTERNATIONAL CONFERENCE ON ADVANCES MATERIALS, SYSTEMS AND TECHNOLOGIES: (CAMSTech-II 2021), https://doi.org/10.1063/5.0092396
- **8. Sh.R.Akhmedov, T.O. Juraev, U.Kh.Umedova**. (2022). *Impact of Seismic Waves on Structures a Deformable Medium*. Texas Journal of Engineering and Technology, 7, 53–56. https://zienjournals.com/index.php/tjet/article/view/1443
- 9. N.Duskaraev, Sh.R.Akhmedov, T.O.Juraev, U.X.Umedova. (2022). Dynamic Stresses Near the Working Surface from A Plane Wave. *Eurasian Scientific Herald*, 7, 125–132. https://geniusjournals.org/index.php/esh/article/view/1082
- 10. Akhmedov, S., Juraev, T., Abrorov, A., Gafurova, N., Mirzaev, J. (2023). Determination of loads of blast wave on aboveground and underground structures. *E3S Web of Conferences* (Vol. 390). EDP Sciences.